

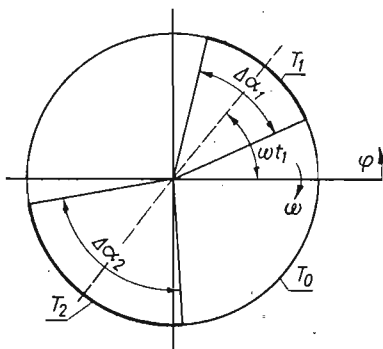
## NAPRĘŻENIA I PRZEMIESZCZENIA W WIRUJĄCYM WALCU KOŁOWYM OGRZEWANYM NIEOSIOWOSYMETRYCZNIE NA POBOCZNICY<sup>\*)</sup>

KRZYSZTOF GRYSA (POZNAŃ)

### 1. Wprowadzenie

W pracy rozważa się pole naprężeń w obracającym się ze stałą prędkością kątową  $\omega$ , nieskończenie długim walcu kołowym, którego pobocznica poddana jest działaniu odcinkami stałej temperatury, będącej funkcją kąta opasania (rys. 1). Zagadnienie rozpatrywane jest w cylindrycznym układzie współrzędnych  $r, \varphi, z$ , sztywno związanym z walcem. Wewnątrz walca panuje płaski stan odkształcenia; temperatura, przemieszczenia i naprężenia są zatem funkcjami zmiennych przestrzennych  $r, \varphi$  oraz czasu  $t$ .

Ponieważ zagadnienie rozpatrywane jest w układzie współrzędnych sztywno związanym z walcem, w równaniach ruchu dodaje się człon uwzględniający siłę odśrodkową. Pomija się natomiast siłę ciężkości. Zagadnienie to rozważane jest na gruncie teorii naprężeń cieplnych. Zakłada się, że w chwili początkowej temperatura walca była równa  $T_0$ .



Rys. 1. Rozkład temperatury na brzegu walca w chwili  $t_1 > 0$

Ponadto przyjmuje się, że pobocznica walca jest wolna od obciążeń. Rozkład temperatury w przekroju poprzecznym walca, wywołany przytoczonym zespołem warunków, wyznaczony został w pracy [1]. W tej pracy wyznaczono dla rozważanego walca pole naprężeń cieplnych, jakie powstaje podczas tzw. regularnego reżimu cieplnego [por. 1, 11, 12].

<sup>\*)</sup> Praca nagrodzona III nagrodą na konkursie naukowym na prace teoretyczne z mechaniki, organizowanym przez Oddział PTMTS w Poznaniu w 1976 r.

## 2. Podstawowe związki i metoda rozwiązania zagadnienia

Punktem wyjścia są równania ruchu [2]:

$$(1) \quad \begin{cases} \frac{\partial \sigma_{rr}}{\partial r} + \frac{1}{r} \frac{\partial \sigma_{r\varphi}}{\partial \varphi} + \frac{\sigma_{rr} - \sigma_{\varphi\varphi}}{r} + X_r = \varrho_0 \ddot{u}_r, \\ \frac{\partial \sigma_{r\varphi}}{\partial r} + \frac{1}{r} \frac{\partial \sigma_{\varphi\varphi}}{\partial \varphi} + \frac{2\sigma_{r\varphi}}{r} + X_\varphi = \varrho_0 \ddot{u}_\varphi, \end{cases}$$

z warunkami brzegowymi dla  $r = a$

$$(2) \quad \begin{cases} \sigma_{rr}(a, \varphi, t) = 0, \\ \sigma_{r\varphi}(a, \varphi, t) = 0. \end{cases}$$

Tutaj  $u_r$ ,  $u_\varphi$  oznaczają współrzędne wektora przemieszczenia,  $\sigma_{\alpha\beta}$  — współrzędne tensora naprężenia ( $\alpha$ ,  $\beta$  mogą przyjmować wartości  $r$ ,  $\varphi$ ,  $z$ ),  $X_r$ ,  $X_\varphi$  — siły masowe,  $\varrho_0$  — gęstość,  $a$  — promień walca,  $(\cdot) \equiv \frac{\partial(\cdot)}{\partial t}$ .

Powyższe zagadnienie brzegowe można — wykorzystując związki Duhamela-Neumana dla płaskiego stanu odkształcenia [2]:

$$(3) \quad \begin{cases} \sigma_{rr} = (\lambda + 2\mu) \varepsilon_{rr} + \lambda \varepsilon_{\varphi\varphi} - \gamma \theta, & \sigma_{r\varphi} = 2\mu \varepsilon_{r\varphi}, \\ \sigma_{\varphi\varphi} = (\lambda + 2\mu) \varepsilon_{\varphi\varphi} + \lambda \varepsilon_{rr} - \gamma \theta, \\ \sigma_{zz} = \frac{\lambda}{2(\lambda + \mu)} (\sigma_{rr} + \sigma_{\varphi\varphi}) - \frac{\mu\gamma}{\lambda + \mu} \theta \end{cases}$$

oraz związki pomiędzy odkształceniami i przemieszczeniami [2]:

$$(4) \quad \begin{cases} \varepsilon_{rr} = \frac{\partial u_r}{\partial r}, & \varepsilon_{\varphi\varphi} = \frac{1}{r} \frac{\partial u_\varphi}{\partial \varphi} + \frac{u_r}{r}, \\ \varepsilon_{r\varphi} = \frac{1}{2} \left( \frac{1}{r} \frac{\partial u_r}{\partial \varphi} + \frac{\partial u_\varphi}{\partial r} - \frac{u_\varphi}{r} \right) \end{cases}$$

— sformułować w języku przemieszczeń. Przyjmując ponadto, że  $X_r = \varrho_0 r \omega^2$ ,  $X_\varphi = 0$ , otrzymuje się następującą postać zagadnienia (1) - (2):

$$(1') \quad \begin{cases} (\lambda + \mu) \frac{\partial}{\partial r} \left[ \frac{1}{r} \frac{\partial u_\varphi}{\partial \varphi} + \frac{1}{r} \frac{\partial}{\partial r} (r u_r) \right] + \mu \left[ \nabla^2 u_r - \frac{1}{r^2} \left( u_r + 2 \frac{\partial u_\varphi}{\partial \varphi} \right) \right] + \\ \qquad \qquad \qquad + \varrho_0 r \omega^2 = \varrho_0 \ddot{u}_r + \gamma \frac{\partial \theta}{\partial r}, \\ (\lambda + \mu) \frac{1}{r} \frac{\partial}{\partial \varphi} \left[ \frac{1}{r} \frac{\partial u_\varphi}{\partial \varphi} + \frac{1}{r} \frac{\partial}{\partial r} (r u_r) \right] + \mu \left[ \nabla^2 u_\varphi - \frac{1}{r^2} \left( u_\varphi - 2 \frac{\partial u_r}{\partial \varphi} \right) \right] = \varrho_0 \ddot{u}_\varphi + \frac{\gamma}{r} \frac{\partial \theta}{\partial \varphi}, \end{cases}$$

$$(2') \quad \begin{cases} (\lambda + 2\mu) \frac{\partial u_r}{\partial r} + \lambda \left( \frac{1}{r} \frac{\partial u_\varphi}{\partial \varphi} + \frac{u_r}{r} \right) \Big|_{r=a} = \gamma \theta(\alpha, \varphi, t), \\ \frac{1}{r} \frac{\partial u_r}{\partial \varphi} + \frac{\partial u_\varphi}{\partial r} - \frac{u_\varphi}{r} \Big|_{r=a} = 0, \end{cases}$$

gdzie  $\lambda, \mu$  oznaczają stałe Lamégo,  $\gamma = (3\lambda + 2\mu)\alpha_t$ ,  $\alpha_t$  — współczynnik rozszerzalności cieplnej,  $\theta$  — temperaturę;

$$\nabla^2 = \frac{\partial^2}{\partial r^2} + \frac{1}{r} \frac{\partial}{\partial r} + \frac{1}{r^2} \frac{\partial^2}{\partial \varphi^2}.$$

Dodanie do związków (1'), (2'), warunków początkowych dla naprężeń lub przemieszczeń zakończyłoby formułowanie zagadnienia dynamicznego. Jednakże przy rozwiązywaniu tego zagadnienia otrzymuje się niesłychanie skomplikowane transformaty Laplace'a potencjałów termosprężystego przemieszczenia [11], których odwrócenie jest bardzo trudne nawet przy zastosowaniu metod przybliżonych.

W celu ominięcia tych trudności w dalszych rozważaniach dokonuje się uproszczeń, wykorzystując pewne własności funkcji  $\theta(r, \varphi, t)$ , określającej w rozważanym przypadku pole temperatury.

Jak wspomniano we wprowadzeniu, funkcja ta została wyznaczona w pracy [1] i jest określona następująco:

$$(5) \quad \theta(r, \varphi, t) = t_0(r, t) + \sum_{n=1}^{\infty} [t_n^c(r, t) \cos n(\varphi - \omega t) + t_n^s(r, t) \sin n(\varphi - \omega t)],$$

gdzie (por. [1])

$$(6) \quad \begin{cases} t_0(r, t) = t_{0a} \left[ 1 - \frac{2}{a} \sum_{i=1}^{\infty} \frac{J_0(rs_{0i})}{s_{0i} J_1(as_{0i})} e^{-s_{0i}^2 \kappa t} \right], \\ t_n^c(r, t) = \frac{2}{a} t_{na} \sum_{i=1}^{\infty} \cos \delta_{ni} \frac{J_n(rs_{ni})}{s_{ni} J'_n(as_{ni})} \{ e^{-s_{ni}^2 \kappa t} \cos [n\omega t + \delta_{ni}] - \cos \delta_{ni} \}, \\ t_n^s(r, t) = -\frac{2}{a} t_{na} \sum_{i=1}^{\infty} \cos \delta_{ni} \frac{J_n(rs_{ni})}{s_{ni} J'_n(as_{ni})} \{ e^{-s_{ni}^2 \kappa t} \sin [n\omega t + \delta_{ni}] - \sin \delta_{ni} \}. \end{cases}$$

W związkach (5) i (6) oznaczono:

$$t_{0a} = \frac{1}{2\pi} (\theta_1 \Delta \alpha_1 + \theta_2 \Delta \alpha_2), \quad t_{na} = \frac{2}{\pi n} \left[ \theta_1 \sin \frac{n\Delta \alpha_1}{2} + \theta_2 (-1)^n \sin \frac{n\Delta \alpha_2}{2} \right], \quad \theta_1 = T_1 - T_0, \\ \theta_2 = T_2 - T_0, \quad \theta = T - T_0; \quad (\text{por. rys. 1}), \quad J_n(z) \text{ — funkcja Bessela pierwszego rodzaju } n\text{-tego rzędu [3, 4], } s_{ni} \text{ — pierwiastki równania } J_n(as) = 0 \quad (n = 0, 1, \dots; i = 1, 2, \dots) \\ \kappa \text{ — współczynnik przewodzenia temperatury, } \cos \delta_{ni} = \frac{\kappa s_{ni}^2}{\sqrt{\kappa^2 s_{ni}^4 + n^2 \omega^2}}; \quad \sin \delta_{ni} = \\ = \frac{n\omega}{\sqrt{\kappa^2 s_{ni}^4 + n^2 \omega^2}}; \quad J'_n(x) \equiv \frac{dJ_n(x)}{dx}; \quad \text{kąty } \Delta \alpha_1 \text{ i } \Delta \alpha_2 \text{ zaznaczono na rys. 1.}$$

Funkcja  $\theta(r, \varphi, t)$  jest rozwiązaniem równania przewodnictwa cieplnego  $\nabla^2 \theta - \frac{1}{\kappa} \frac{\partial \theta}{\partial t} = 0$  z warunkiem początkowym  $\theta(r, \varphi, 0) = 0$  oraz warunkiem brzegowym  $\theta(a, \varphi, t) = t_{0a} + \sum_{n=1}^{\infty} t_{na} \cos n(\varphi - \omega t)$  [1].

Ze wzorów (5) i (6) wynika, że po pewnym czasie  $t$ , określonym nierównością  $t > 0,5a^2/\kappa$  (podczas tzw. regularnego reżimu cieplnego [por. 1, 11, 12]), pole temperatury opisane będzie funkcją, w której wpływ członów eksponencjalnych jest pomijalnie mały. Funkcja ta zależy w tym przypadku od dwóch zmiennych:  $r$  oraz  $\varphi - \omega t$ . Przechodząc do nowych zmiennych, określonych transformacją

$$(7) \quad \begin{cases} r^* = r, \\ \varphi^* = \varphi - \omega t, \\ t^* = t, \end{cases}$$

łatwo można zauważyć, że człon inercyjny w obu równaniach (1') przyjmuje postać

$$\varrho_0 \left( -\frac{\partial^2}{\partial t^{*2}} - 2\omega \frac{\partial^2}{\partial t^* \partial \varphi^*} + \omega^2 \frac{\partial^2}{\partial \varphi^{*2}} \right) u_\alpha \quad (\alpha = r, \varphi),$$

w której — wobec powyższych uwag — można dla  $t^* > 0,5a^2/\kappa$  pominąć pochodne po zmiennej  $t^*$ . Zatem dla  $t^* > 0,5a^2/\kappa$

$$\varrho_0 \frac{\partial^2 u_\alpha}{\partial t^{*2}} \cong \varrho_0 \omega^2 \frac{\partial^2 u_\alpha}{\partial \varphi^{*2}},$$

równania (1') zaś przyjmują postać

$$(8) \quad \begin{cases} (\lambda + \mu) \frac{\partial}{\partial r} \left[ \frac{1}{r} \frac{\partial u_\varphi}{\partial \varphi^*} + \frac{1}{r} \frac{\partial}{\partial r} (ru_r) \right] + \mu \left[ \nabla^2 u_r - \frac{1}{r^2} \left( u_r + 2 \frac{\partial u_\varphi}{\partial \varphi^*} \right) \right] + \varrho_0 r \omega^2 = \\ \hspace{20em} = \varrho_0 \omega^2 \frac{\partial^2 u_r}{\partial \varphi^{*2}} + \gamma \frac{\partial \theta}{\partial r}, \\ (\lambda + \mu) \frac{1}{r} \frac{\partial}{\partial \varphi^*} \left[ \frac{1}{r} \frac{\partial u_\varphi}{\partial \varphi^*} + \frac{1}{r} \frac{\partial}{\partial r} (ru_r) \right] + \mu \left[ \nabla^2 u_\varphi - \frac{1}{r^2} \left( \mu_\varphi - 2 \frac{\partial u_r}{\partial \varphi^*} \right) \right] = \\ \hspace{20em} = \varrho_0 \omega^2 \frac{\partial^2 u_\varphi}{\partial \varphi^{*2}} + \frac{\gamma}{r} \frac{\partial \theta}{\partial \varphi^*}. \end{cases}$$

W związkach (2') w miejsce zmiennej  $\varphi$  należy położyć  $\varphi^*$ . W równaniach (8), a także w następnych zależnościach, pominięto gwiazdkę przy  $r$  oraz przy operatorze  $\nabla$ , gdyż nie prowadzi to do nieporozumień.

Funkcję  $\theta(r, \varphi^*, t^*)$  dla  $t^* > 0,5a^2/\kappa$  zapisać można w postaci

$$(9) \quad \theta(r, \varphi^*, t^*)|_{t^* > 0,5a^2/\kappa} \cong t_{0a} + \theta^*(r, \varphi^*),$$

gdzie

$$(10) \quad \theta^*(r, \varphi^*) = \sum_{n=1}^{\infty} \{ \vartheta_n^c(r) \cos n\varphi^* + \vartheta_n^s(r) \sin n\varphi^* \}.$$

Tutaj

$$(11) \quad \begin{aligned} \vartheta_n^c(r) &= -\frac{2}{a} t_{na} \sum_{i=1}^{\infty} \cos^2 \delta_{ni} \frac{J_n(rS_{ni})}{S_{ni} J'_n(aS_{ni})} \cong t_n^c(r, t^*)|_{t^* > 0,5a^2/\kappa}, \\ \vartheta_n^s(r) &= \frac{1}{a} t_{na} \sum_{i=1}^{\infty} \sin 2\delta_{ni} \frac{J_n(rS_{ni})}{S_{ni} J'_n(aS_{ni})} \cong t_n^s(r, t^*)|_{t^* > 0,5a^2/\kappa}. \end{aligned}$$

Rozwiązań równań (8) poszukiwać będziemy w postaci sumy

$$(12) \quad u_\alpha = u_\alpha^\omega + u_\alpha^0 + u_\alpha^* \quad (\alpha = r, \varphi),$$

gdzie poszczególne składniki opisują przemieszczenie wywołane, odpowiednio, przez siłę odśrodkową  $\varrho_0 r \omega^2$ , temperaturę  $t_{0a}$  oraz temperaturę  $\theta^*(r, \varphi^*)$ .

Podobnie naprężeń poszukiwać będziemy jako sumy

$$(13) \quad \sigma_{\alpha\beta} = \sigma_{\alpha\beta}^\omega + \sigma_{\alpha\beta}^0 + \sigma_{\alpha\beta}^*, \quad (\alpha, \beta = r, \varphi, z).$$

Przemieszczenia i naprężenia w wirującym walcu są znane i wynoszą [5, 6]:

$$(14) \quad u_r^\omega = \frac{\omega^2 r}{8c_1^2} \left[ a^2 - r^2 + \frac{a^2}{1 - c^2} \right], \quad u_\varphi^\omega = 0,$$

$$(15) \quad \sigma_{rr}^\omega = \frac{\omega^2 \varrho_0}{4} (a^2 - r^2) (2 - c^2), \quad \sigma_{r\varphi}^\omega = 0,$$

$$\sigma_{\varphi\varphi}^\omega = \frac{1}{4} \omega^2 \varrho_0 (a^2 - r^2) (2 - c^2) + \frac{1}{2} \omega^2 r^2 \varrho_0 c^2,$$

gdzie  $c_1^2 = \frac{\lambda + 2\mu}{\varrho_0}$ ,  $c_2^2 = \frac{\mu}{\varrho_0}$ ,  $c^2 = \frac{c_2^2}{c_1^2}$ .

Przemieszczenia i naprężenia wywołane ogrzewaniem całej poboczniczy walca stałą temperaturą również są znane. W przypadku zagadnienia dynamicznego postać ich można znaleźć m.in. w pracach [7, 8, 9]; dla zagadnienia quasi-ustalonego są one odpowiednio równe [5, 10]:

$$(16) \quad u_r^0 = 2amt_{0a} \left\{ \frac{\varrho}{4(1 - c^2)} - \frac{c^2 \varrho}{1 - c^2} \sum_{i=1}^{\infty} \frac{1}{\mu_{0i}^2} e^{-\mu_{0i}^2 Fo} + \right. \\ \left. + \sum_{i=1}^{\infty} \frac{J_1(\varrho \mu_{0i})}{\mu_{0i}^2 J_0'(\mu_{0i})} e^{-\mu_{0i}^2 Fo} \right\}; \quad u_\varphi^0 = 0;$$

$$\sigma_{rr}^0 = -4\gamma c^2 t_{0a} \sum_{i=1}^{\infty} \frac{1}{\mu_{0i}^2} e^{-\mu_{0i}^2 Fo} \left( 1 + \frac{J_1(\varrho \mu_{0i})}{\varrho J_0'(\mu_{0i})} \right),$$

$$(17) \quad \sigma_{\varphi\varphi}^0 = -4\gamma c^2 t_{0a} \sum_{i=1}^{\infty} \frac{1}{\mu_{0i}^2} e^{-\mu_{0i}^2 Fo} \left( 1 - \frac{J_1(\varrho \mu_{0i})}{\varrho J_0'(\mu_{0i})} + \frac{\mu_{0i} J_0(\varrho \mu_{0i})}{J_0'(\mu_{0i})} \right),$$

$$\sigma_{r\varphi}^0 = 0,$$

gdzie  $m = \frac{\gamma}{\varrho_0 c_1^2}$ ,  $\varrho = \frac{r}{a}$ ,  $\mu_{0i} = a s_{0i}$ ,  $Fo = \frac{\kappa t}{a^2}$  jest liczbą Fouriera (bezwymiarowy czas). Z ograniczenia narzuconego na czas  $t$  wynika, że naprężenia podane w związkach (17) są pomijalnie małe ( $Fo > 0,5$ ), wobec czego w związku (13) można pominąć składnik  $\sigma_{\alpha\beta}^0$ . Ponadto z porównania związków (12), (14) i (16) oraz (13), (15) i (17) wynika, że  $u_\varphi^* = u_\varphi$  oraz  $\sigma_{r\varphi}^* = \sigma_{r\varphi}$ .

Do wyznaczenia pozostały następujące wielkości:  $u_r^*$  i  $\sigma_{\alpha\beta}^*$  ( $\alpha, \beta = r, \varphi$ ). Aby je znaleźć, należy rozwiązać układ równań

$$(18) \quad (\lambda + \mu) \frac{\partial}{\partial r} \left[ \frac{1}{r} \frac{\partial u_\varphi^*}{\partial \varphi^*} + \frac{1}{r} \frac{\partial}{\partial r} (ru_r^*) \right] + \mu \left[ \nabla^2 u_r^* - \frac{1}{r^2} \left( u_r^* + 2 \frac{\partial u_\varphi^*}{\partial \varphi^*} \right) \right] = \varrho_0 \omega^2 \frac{\partial^2 u_r^*}{\partial \varphi^{*2}} + \gamma \frac{\partial \theta^*}{\partial r},$$

$$(\lambda + \mu) \frac{1}{r} \frac{\partial}{\partial \varphi^*} \left[ \frac{1}{r} \frac{\partial u_\varphi^*}{\partial \varphi^*} + \frac{1}{r} \frac{\partial}{\partial r} (ru_r^*) \right] + \mu \left[ \nabla^2 u_\varphi^* - \frac{1}{r^2} \left( u_\varphi^* - 2 \frac{\partial u_r^*}{\partial \varphi^*} \right) \right] = \varrho_0 \omega^2 \frac{\partial^2 u_\varphi^*}{\partial \varphi^{*2}} + \frac{\gamma}{r} \frac{\partial \theta^*}{\partial \varphi^*},$$

z warunkami

$$(19) \quad (\lambda + 2\mu) \frac{\partial u_r^*}{\partial r} + \lambda \left( \frac{1}{r} \frac{\partial u_r^*}{\partial \varphi^*} + \frac{u_r^*}{r} \right) \Big|_{r=a} = \gamma \theta^*(a, \varphi^*),$$

$$\frac{1}{r} \frac{\partial u_r^*}{\partial \varphi^*} + \frac{\partial u_\varphi^*}{\partial r} - \frac{u_\varphi^*}{r} \Big|_{r=a} = 0.$$

Przemieszczeń  $u_r^*$  i  $u_\varphi^*$  poszukuje się przy pomocy przedstawienia Lamégo [2]:

$$(20) \quad \begin{Bmatrix} u_r^* \\ u_\varphi^* \end{Bmatrix} = \begin{Bmatrix} \frac{\partial \Phi}{\partial r} \\ \frac{1}{r} \frac{\partial \Phi}{\partial \varphi^*} \end{Bmatrix} + \begin{Bmatrix} \frac{1}{r} \frac{\partial \Psi}{\partial \varphi^*} \\ -\frac{\partial \Psi}{\partial r} \end{Bmatrix},$$

Postać naprężeń, przy wyznaczonych potencjałach  $\Phi$  i  $\Psi$ , uzyskuje się ze związków:

$$(21) \quad \begin{cases} \sigma_{rr}^* = \varrho_0 c_1^2 \left\{ (1 - 2c^2) \nabla^2 \Phi + 2c^2 \left[ \frac{\partial^2 \Phi}{\partial r^2} + \frac{1}{r} \left( \frac{\partial}{\partial r} - \frac{1}{r} \right) \frac{\partial \Psi}{\partial \varphi^*} \right] - m\theta^* \right\}, \\ \sigma_{\varphi\varphi}^* = \varrho_0 c_1^2 \left\{ \nabla^2 \Phi - 2c^2 \left[ \frac{\partial^2 \Phi}{\partial r^2} + \frac{1}{r} \left( \frac{\partial}{\partial r} - \frac{1}{r} \right) \frac{\partial \Psi}{\partial \varphi^*} \right] - m\theta^* \right\}, \\ \sigma_{r\varphi}^* = \varrho_0 c_2^2 \left\{ \nabla^2 \Psi + \frac{2}{r} \left( \frac{\partial}{\partial r} - \frac{1}{r} \right) \frac{\partial \Phi}{\partial \varphi^*} - 2 \frac{\partial^2 \Psi}{\partial r^2} \right\}. \end{cases}$$

### 3. Wyznaczenia potencjałów $\Phi$ i $\Psi$

Potencjały  $\Phi$  i  $\Psi$  muszą spełniać równania

$$(22) \quad \left[ \frac{\partial^2}{\partial r^2} + \frac{1}{r} \frac{\partial}{\partial r} + \left( \frac{1}{r^2} - \omega^2 \left\{ \frac{c_1^{-2}}{c_2^{-2}} \right\} \right) \right] \begin{Bmatrix} \Phi \\ \Psi \end{Bmatrix} = \begin{Bmatrix} m\theta^* \\ 0 \end{Bmatrix}$$

oraz warunki

$$(23) \quad \begin{cases} (1 - 2c^2) \nabla^2 \Phi + 2c^2 \frac{\partial}{\partial r} \left[ \frac{\partial \Phi}{\partial r} + \frac{1}{r} \frac{\partial \Psi}{\partial \varphi^*} \right] \Big|_{r=a} = m\theta^*(a, \varphi^*), \\ \nabla^2 \Psi + 2 \frac{\partial}{\partial r} \left[ \frac{1}{r} \frac{\partial \Phi}{\partial \varphi^*} - \frac{\partial \Psi}{\partial r} \right] \Big|_{r=a} = 0. \end{cases}$$

Funkcji  $\Phi$  i  $\Psi$  — wobec (10) — poszukiwać będziemy w postaci

$$(24) \quad \begin{cases} \Phi(r, \varphi^*) \\ \Psi(r, \varphi^*) \end{cases} = \sum_{n=1}^{\infty} \begin{cases} \Phi_n^c(r) \\ \Psi_n^c(r) \end{cases} \cos n\varphi^* + \begin{cases} \Phi_n^s(r) \\ \Psi_n^s(r) \end{cases} \sin n\varphi^*.$$

Współczynniki  $\Phi_n^c$ ,  $\Phi_n^s$ ,  $\Psi_n^c$  i  $\Psi_n^s$  spełniają następujące równania:

$$(25) \quad \begin{cases} \left\{ \frac{d^2}{dr^2} + \frac{1}{r} \frac{d}{dr} + \left[ \left( \frac{n\omega}{c_1} \right)^2 - \frac{n^2}{r^2} \right] \right\} \begin{cases} \Phi_n^c \\ \Phi_n^s \end{cases} = m \begin{cases} \vartheta_n^c \\ \vartheta_n^s \end{cases}, \\ \left\{ \frac{d^2}{dr^2} + \frac{1}{r} \frac{d}{dr} + \left[ \left( \frac{n\omega}{c_2} \right)^2 - \frac{n^2}{r^2} \right] \right\} \begin{cases} \Psi_n^c \\ \Psi_n^s \end{cases} = 0, \quad n = 1, 2, \dots \end{cases}$$

Rozwiązania tych równań mają postać

$$(26) \quad \begin{cases} \Phi_n^c(r) \\ \Phi_n^s(r) \end{cases} = \frac{2mc_1^2}{a} t_{na} \sum_{i=1}^{\infty} \left\{ \begin{matrix} -\cos^2 \delta_{ni} \\ \sin \delta_{ni} \cos \delta_{ni} \end{matrix} \right\} \frac{J_n(rs_{ni})}{(n^2\omega^2 - c_1^2 s_{ni}^2) s_{ni} J_n'(as_{ni})} + \begin{cases} B_n^c \\ B_n^s \end{cases} J_n\left(\frac{n\omega}{c_1}r\right);$$

$$(27) \quad \begin{cases} \Psi_n^c(r) \\ \Psi_n^s(r) \end{cases} = \begin{cases} C_n^c \\ C_n^s \end{cases} J_n\left(\frac{n\omega}{c_2}r\right),$$

gdzie  $B_n^c$ ,  $B_n^s$ ,  $C_n^c$ ,  $C_n^s$  oznaczają stałe.

Dla  $r = a$ , funkcje  $\Phi_n^c$ ,  $\Phi_n^s$ ,  $\Psi_n^c$  i  $\Psi_n^s$  muszą spełniać zależności:

$$(28) \quad \begin{cases} (1 - 2c^2) \left( \frac{d^2}{dr^2} + \frac{1}{r} \frac{d}{dr} - \frac{n^2}{r^2} \right) \Phi_n^c + 2c^2 \frac{d^2}{dr^2} \Phi_n^c + 2c^2 \frac{n}{r} \left( \frac{d}{dr} - \frac{1}{r} \right) \Psi_n^s \Big|_{r=a} = mt_{na}, \\ (1 - 2c^2) \left( \frac{d^2}{dr^2} + \frac{1}{r} \frac{d}{dr} - \frac{n^2}{r^2} \right) \Phi_n^s + 2c^2 \frac{d^2}{dr^2} \Phi_n^s - 2c^2 \frac{n}{r} \left( \frac{d}{dr} - \frac{1}{r} \right) \Psi_n^c \Big|_{r=a} = 0, \\ 2 \frac{n}{r} \left( \frac{d}{dr} - \frac{1}{r} \right) \Phi_n^s + \left( \frac{d^2}{dr^2} + \frac{1}{r} \frac{d}{dr} - \frac{n^2}{r^2} \right) \Psi_n^c - 2 \frac{d^2}{dr^2} \Psi_n^c \Big|_{r=a} = 0, \\ -2 \frac{n}{r} \left( \frac{d}{dr} - \frac{1}{r} \right) \Phi_n^c + \left( \frac{d^2}{dr^2} + \frac{1}{r} \frac{d}{dr} - \frac{n^2}{r^2} \right) \Psi_n^s - 2 \frac{d^2}{dr^2} \Psi_n^s \Big|_{r=a} = 0. \end{cases}$$

Podstawienie związków (26) i (27) do zależności (28) pozwala zapisać układ równań na stałe  $B_n^c$ ,  $B_n^s$ ,  $C_n^c$  i  $C_n^s$ :

$$(29) \quad \begin{cases} P(1, \lambda_n) B_n^c + 2c^2 n R_n \left( \frac{\lambda_n}{c} \right) C_n^s = 4ma^2 c^2 t_{na} \sum_{i=1}^{\infty} \cos^2 \delta_{ni} (\mu_{ni}^2 - \lambda_n^2)^{-1}, \\ 2c^2 n R_n(\lambda_n) B_n^c + P_n \left( 1, \frac{\lambda_n}{c} \right) C_n^s = -4ma^2 c^2 n t_{na} \sum_{i=1}^{\infty} \cos^2 \delta_{ni} (\mu_{ni}^2 - \lambda_n^2)^{-1}, \\ P_n(1, \lambda_n) B_n^s - 2c^2 n R_n \left( \frac{\lambda_n}{c} \right) C_n^c = -4ma^2 c^2 t_{na} \sum_{i=1}^{\infty} \frac{\cos \delta_{ni} \sin \delta_{ni}}{\mu_{ni}^2 - \lambda_n^2}, \\ 2c^2 n R_n(\lambda_n) B_n^s - P_n \left( 1, \frac{\lambda_n}{c} \right) C_n^c = 4ma^2 c^2 n t_{na} \sum_{i=1}^{\infty} \frac{\cos \delta_{ni} \sin \delta_{ni}}{\mu_{ni}^2 - \lambda_n^2}, \end{cases}$$

gdzie oznaczono:

$$\begin{aligned} P_n(y, x) &= [2c^2n(n-1) - (y\lambda_n)^2]J_n(xy) + 2c^2xyJ_{n+1}(xy), \\ R_n(x) &= (n-1)J_n(x) - xJ_{n+1}(x), \\ \lambda_n &= \frac{an\omega}{c_1}, \quad \mu_{ni} = as_{ni}. \end{aligned}$$

Układ równań algebraicznych (29) otrzymano wykorzystując wzory na sumy szeregów Fouriera–Bessela, wyprowadzone w pracy [13]. Rozwiązania tego układu są następujące:

$$(30) \quad \begin{aligned} \left. \begin{matrix} B_n^c \\ B_n^s \end{matrix} \right\} &= -4ma^2c^2t_{na}S_n^{-1} \left[ P_n\left(1, \frac{\lambda_n}{c}\right) + 2c^2n^2R_n\left(\frac{\lambda_n}{c}\right) \right] \sum_{i=1}^{\infty} \left\{ \frac{-\cos^2\delta_{ni}}{\cos\delta_{ni}\sin\delta_{ni}} \right\} (\mu_{ni}^2 - \lambda_n^2)^{-1}, \\ \left. \begin{matrix} C_n^c \\ C_n^s \end{matrix} \right\} &= -4mna^2c^2t_{na}S_n^{-1} [P_n(1, \lambda_n) + 2c^2R_n(\lambda_n)] \sum_{i=1}^{\infty} \left\{ \frac{\cos\delta_{ni}\sin\delta_{ni}}{\cos^2\delta_{ni}} \right\} (\mu_{ni}^2 - \lambda_n^2)^{-1}, \end{aligned}$$

$$\text{gdzie } S_n = P_n(1, \lambda_n) P_n\left(1, \frac{\lambda_n}{c}\right) - 4c^4n^2R_n(\lambda_n)R_n\left(\frac{\lambda_n}{c}\right).$$

Wykorzystując związki (30), (27), (26) i (23) otrzymuje się następującą postać potencjałów  $\Phi$  i  $\Psi$ :

$$(31) \quad \begin{aligned} \Phi(\varrho, \varphi^*) &= 2ma^2 \sum_{n=1}^{\infty} \left\{ t_{na} \left[ \sum_{i=1}^{\infty} \frac{J_n(\varrho\mu_{ni}) \cos\delta_{ni} \cos(n\varphi^* + \delta_{ni})}{(\mu_{ni}^2 - \lambda_n^2)J'_n(\mu_{ni})} \right] + \right. \\ &\quad \left. + 2c^2t_{na}J_n(\varrho\lambda_n)S_n^{-1} \left[ P_n\left(1, \frac{\lambda_n}{c}\right) + 2c^2n^2R_n\left(\frac{\lambda_n}{c}\right) \right] \sum_{i=1}^{\infty} \frac{\cos\delta_{ni}\cos(n\varphi^* + \delta_{ni})}{\mu_{ni}^2 - \lambda_n^2} \right\}, \\ \Psi(\varrho, \varphi^*) &= -4ma^2c^2 \sum_{i=1}^{\infty} \left\{ t_{na}nS_n^{-1} [P(1, \lambda_n) + 2c^2R_n(\lambda_n)] \times \right. \\ &\quad \left. \times J_n\left(\varrho \frac{\lambda_n}{c}\right) \sum_{i=1}^{\infty} \frac{\cos\delta_{ni}\sin(n\varphi^* + \delta_{ni})}{\mu_{ni}^2 - \lambda_n^2} \right\}, \end{aligned}$$

gdzie

$$\cos\delta_{ni} = \frac{\mu_{ni}^2}{\sqrt{\mu_{ni}^4 + L^2\lambda_n^2}}, \quad \sin\delta_{ni} = \frac{L\lambda_n}{\sqrt{\mu_{ni}^4 + L^2\lambda_n^2}},$$

$$L = \frac{ac_1}{\varkappa}, \quad \varrho = \frac{r}{a}; \quad \varrho \in \langle 0, 1 \rangle.$$

#### 4. Przemieszczenia i naprężenia

Przemieszczenia  $u_r^*$ ,  $u_\varphi^*$  oraz naprężenia  $\sigma_{rr}^*$ ,  $\sigma_{\varphi\varphi}^*$ ,  $\sigma_{r\varphi}^*$  uzyskuje się, wstawiając do wzorów (20) i (21) wyznaczone postaci potencjałów  $\Phi$  i  $\Psi$ . Podwójne szeregi Fouriera–Bessela, poprzez które wyrażać się będą poszukiwane wielkości, można sprowadzić do pojedynczych szeregów Fouriera, wykorzystując wzory [13]:



$$\sum_{i=1}^{\infty} \frac{J_n(\varrho \mu_{ni})}{(\mu_{ni}^2 - \lambda_n^2) \mu_{ni} J'_n(\mu_{ni})} = \frac{\varrho^n}{2\lambda_n^2} - \frac{J_n(\varrho \lambda_n)}{2\lambda_n^2 J_n(\lambda_n)},$$

$$\sum_{i=1}^{\infty} \frac{J_{n+1}(\varrho \mu_{ni})}{(\mu_{ni}^2 - \lambda_n^2) J'_n(\mu_{ni})} = -\frac{J_{n+1}(\varrho \lambda_n)}{2\lambda_n J_n(\lambda_n)},$$

$$(32) \quad \sum_{i=1}^{\infty} \frac{J_n(\varrho \mu_{ni})}{(\mu_{ni}^4 + L^2 \lambda_n^2) \mu_{ni} J'_n(\mu_{ni})} = -\frac{\varrho^n}{2L^2 \lambda_n^2} +$$

$$+ \frac{M_n(\varrho \sqrt{L \lambda_n})}{2L^2 \lambda_n^2 M_n(\sqrt{L \lambda_n})} \cos[\theta_n(\varrho \sqrt{L \lambda_n}) - \theta_n(\sqrt{L \lambda_n})],$$

$$\sum_{i=1}^{\infty} \frac{\mu_{ni} J_n(\varrho \mu_{ni})}{(\mu_{ni}^4 + L^2 \lambda_n^2) J'_n(\mu_{ni})} = \frac{M_n(\varrho \sqrt{L \lambda_n})}{2L \lambda_n M_n(\sqrt{L \lambda_n})} \sin[\theta_n(\varrho \sqrt{L \lambda_n}) - \theta_n(\sqrt{L \lambda_n})],$$

$$\sum_{i=1}^{\infty} \frac{J_{n+1}(\varrho \mu_{ni})}{(\mu_{ni}^4 + L^2 \lambda_n^2) J'_n(\mu_{ni})} = \frac{M_{n+1}(\varrho \sqrt{L \lambda_n})}{2L \lambda_n \sqrt{L \lambda_n} M_n(\sqrt{L \lambda_n})} \cos\left[\theta_{n+1}(\varrho \sqrt{L \lambda_n}) - \theta_n(\sqrt{L \lambda_n}) - \frac{\pi}{4}\right],$$

$$\sum_{i=1}^{\infty} \frac{\mu_{ni}^2 J_{n+1}(\varrho \mu_{ni})}{(\mu_{ni}^4 + L^2 \lambda_n^2) J'_n(\mu_{ni})} = -\frac{M_{n+1}(\varrho \sqrt{L \lambda_n})}{2\sqrt{L \lambda_n} M_n(\sqrt{L \lambda_n})} \sin\left[\theta_{n+1}(\varrho \sqrt{L \lambda_n}) - \theta_n(\sqrt{L \lambda_n}) - \frac{\pi}{4}\right].$$

Tutaj

$$M_n(z) = \sqrt{\text{ber}_n^2 z + \text{bei}_n^2 z}, \quad \theta_n(z) = \text{arc tg} \frac{\text{bei}_n z}{\text{ber}_n z},$$

gdzie  $\text{ber}_n z$ ,  $\text{bei}_n z$  oznaczają funkcje Kelvina [3, 4].

Po żmudnych rachunkach i wykorzystaniu wzorów (32) otrzymuje się następujące postacie przemieszczeń i naprężeń:

$$(33) \quad u_r^*(\varrho, \varphi^*) = \frac{ma}{\varrho} \sum_{n=1}^{\infty} \left\{ t_{na} \cos \alpha_n \left[ \frac{J_n(\varrho \lambda_n) + R_n(\varrho \lambda_n)}{L \lambda_n J_n(\lambda_n)} \sin(n\varphi^* - \alpha_n) - \right. \right.$$

$$\left. - \frac{n M_n(\varrho \sqrt{L \lambda_n})}{L \lambda_n M_n(\sqrt{L \lambda_n})} \sin[n\varphi^* - \alpha_n - \theta_n(\varrho \sqrt{L \lambda_n}) + \theta_n(\sqrt{L \lambda_n})] + \right.$$

$$\left. + \frac{\varrho M_{n+1}(\varrho \sqrt{L \lambda_n})}{\sqrt{L \lambda_n} M_n(\sqrt{L \lambda_n})} \sin\left[n\varphi^* - \alpha_n + \theta_{n+1}(\varrho \sqrt{L \lambda_n}) - \theta_n(\sqrt{L \lambda_n}) - \frac{\pi}{4}\right] - \right.$$

$$\left. - 2c^2 \left\{ \frac{J_{n+1}(\lambda_n)}{L J_n(\lambda_n)} \sin(n\varphi^* - \alpha_n) + \frac{M_{n+1}(\sqrt{L \lambda_n})}{\sqrt{L \lambda_n} M_n(\sqrt{L \lambda_n})} \sin\left[n\varphi^* - \alpha_n - \right. \right.$$

$$\left. \left. - \theta_{n+1}(\sqrt{L \lambda_n}) + \theta_n(\sqrt{L \lambda_n}) + \frac{\pi}{4}\right] \right\} S_n^{-1} \left\{ \left[ P_n\left(1, \frac{\lambda_n}{c}\right) + 2c^2 n^2 R_n\left(\frac{\lambda_n}{c}\right) \right] \times \right.$$

$$\left. \times [J_n(\varrho \lambda_n) + R_n(\varrho \lambda_n)] - n^2 J_n\left(\varrho \frac{\lambda_n}{c}\right) [P_n(1, \lambda_n) + 2c^2 R_n(\lambda_n)] \right\} \Bigg\};$$

$$\begin{aligned}
 (34) \quad u_{\varphi}^*(\varrho, \varphi^*) = & \frac{m a}{\varrho} \sum_{n=1}^{\infty} \left( n t_{na} \cos \alpha_n \left[ \frac{J_n(\varrho \lambda_n)}{L \lambda_n J_n(\lambda_n)} \cos (n \varphi^* - \alpha_n) - \right. \right. \\
 & - \frac{M_n(\varrho \sqrt{L \lambda_n})}{L \lambda_n M_n(\sqrt{L \lambda_n})} \cos [n \varphi^* - \alpha_n - \theta_n(\varrho \sqrt{L \lambda_n}) + \theta_n(\sqrt{L \lambda_n})] + \\
 & + 2c^2 \left\{ \frac{J_{n+1}(\lambda_n)}{L J_n(\lambda_n)} \cos (n \varphi^* - \alpha_n) - \frac{M_{n+1}(\sqrt{L \lambda_n})}{\sqrt{L \lambda_n} M_n(\sqrt{L \lambda_n})} \cos \left[ n \varphi^* - \alpha_n - \right. \right. \\
 & \left. \left. - \theta_{n+1}(\sqrt{L \lambda_n}) + \theta_n(\sqrt{L \lambda_n}) + \frac{\pi}{4} \right] \right\} S_n^{-1} \left\{ [P_n(1, \lambda_n) + 2c^2 R_n(\lambda_n)] \times \right. \\
 & \left. \times \left[ J_n \left( \varrho \frac{\lambda_n}{c} \right) + R_n \left( \varrho \frac{\lambda_n}{c} \right) \right] - J_n(\varrho \lambda_n) \left[ P_n \left( 1, \frac{\lambda_n}{c} \right) + 2c^2 n^2 R_n \left( \frac{\lambda_n}{c} \right) \right] \right\} \Bigg);
 \end{aligned}$$

$$\begin{aligned}
 (35) \quad \sigma_{rr}^*(\varrho, \varphi^*) = & \frac{\gamma}{\varrho^2} \sum_{n=1}^{\infty} \left( t_{na} \cos \alpha_n \left[ \frac{P_n(\varrho, \lambda_n)}{L \lambda_n J_n(\lambda_n)} \sin (n \varphi^* - \alpha_n) - \right. \right. \\
 & - [2c^2 n(n-1) - (\varrho \lambda_n)^2] \frac{M_n(\varrho \sqrt{L \lambda_n})}{L \lambda_n M_n(\sqrt{L \lambda_n})} \sin [n \varphi^* - \alpha_n - \theta_n(\varrho \sqrt{L \lambda_n}) + \\
 & + \theta_n(\sqrt{L \lambda_n})] + 2c^2 \varrho \frac{M_{n+1}(\varrho \sqrt{L \lambda_n})}{\sqrt{L \lambda_n} M_n(\sqrt{L \lambda_n})} \sin \left[ n \varphi^* - \alpha_n - \theta_{n+1}(\varrho \sqrt{L \lambda_n}) + \right. \\
 & \left. + \theta_n(\sqrt{L \lambda_n}) + \frac{\pi}{4} \right] - 2c^2 S_n^{-1} \left\{ S_n^*(\varrho) + 2c^2 n^2 \left[ P_n(\varrho, \lambda_n) R_n \left( \frac{\lambda_n}{c} \right) - \right. \right. \\
 & \left. \left. - P_n(1, \lambda_n) R_n \left( \varrho \frac{\lambda_n}{c} \right) \right] \right\} - \left\{ \frac{J_{n+1}(\lambda_n)}{L J_n(\lambda_n)} \sin (n \varphi^* - \alpha_n) - \right. \\
 & \left. - \frac{M_{n+1}(\sqrt{L \lambda_n})}{\sqrt{L \lambda_n} M_n(\sqrt{L \lambda_n})} \sin \left[ n \varphi^* - \alpha_n + \theta_{n+1}(\sqrt{L \lambda_n}) - \theta_n(\sqrt{L \lambda_n}) - \frac{\pi}{4} \right] \right\} \Bigg);
 \end{aligned}$$

$$\begin{aligned}
 (36) \quad \sigma_{\varphi\varphi}^*(\varrho, \varphi^*) = & - \frac{\gamma}{\varrho^2} \sum_{n=1}^{\infty} \left( t_{na} \cos \alpha_n \left[ \frac{P_n(\varrho, \lambda_n)}{L \lambda_n J_n(\lambda_n)} + \right. \right. \\
 & + 2(1-c^2) \varrho^2 \frac{\lambda_n J_n(\varrho \lambda_n)}{L J_n(\lambda_n)} \left. \right\} \sin (n \varphi^* - \alpha_n) - \frac{M_n(\varrho \sqrt{L \lambda_n})}{L \lambda_n M_n(\sqrt{L \lambda_n})} \{ [2c^2 n(n-1) + \\
 & + (\varrho \lambda_n)^2] \sin [n \varphi^* - \alpha_n - \theta_n(\varrho \sqrt{L \lambda_n}) + \theta_n(\sqrt{L \lambda_n})] - 2\varrho^2 c^2 L \lambda_n \cos [n \varphi^* - \\
 & - \alpha_n - \theta_n(\varrho \sqrt{L \lambda_n}) + \theta_n(\sqrt{L \lambda_n})] \} + \frac{2c^2 \varrho M_{n+1}(\varrho \sqrt{L \lambda_n})}{\sqrt{L \lambda_n} M_n(\sqrt{L \lambda_n})} \sin \left[ n \varphi^* - \right. \\
 & \left. - \alpha_n - \theta_{n+1}(\varrho \sqrt{L \lambda_n}) + \theta_n(\sqrt{L \lambda_n}) + \frac{\pi}{4} \right] - 2c^2 S_n^{-1} \left\{ S_n^*(\varrho) + \right. \\
 & \left. + 2c^2 n^2 \left[ P_n(\varrho, \lambda_n) R_n \left( \frac{\lambda_n}{c} \right) - P_n(1, \lambda_n) R_n \left( \varrho \frac{\lambda_n}{c} \right) \right] + 2(1-c^2) (\varrho \lambda_n)^2 \times \right.
 \end{aligned}$$

$$\begin{aligned}
 & \times J_n(\varrho \lambda_n) \left[ P_n \left( 1, \frac{\lambda_n}{c} \right) + 2c^2 n^2 R_n \left( \frac{\lambda_n}{c} \right) \right] \times \left\{ \frac{J_{n+1}(\lambda_n)}{L J_n(\lambda_n)} \sin(n\varphi^* - \alpha_n) - \right. \\
 & \left. - \frac{M_{n+1}(\sqrt{L\lambda_n})}{\sqrt{L\lambda_n} M_n(\sqrt{L\lambda_n})} \sin \left[ n\varphi^* - \alpha_n + \theta_{n+1}(\sqrt{L\lambda_n}) - \theta_n(\sqrt{L\lambda_n}) - \frac{\pi}{4} \right] \right\}; \\
 (37) \quad \sigma_{r\varphi}^*(\varrho, \varphi^*) = & \frac{2\gamma c^2}{\varrho^2} \sum_{n=1}^{\infty} \left( n t_{na} \cos \alpha_n \left[ \frac{R_n(\varrho \lambda_n)}{L \lambda_n J_n(\lambda_n)} \cos(n\varphi^* - \alpha_n) - \right. \right. \\
 & \left. - \frac{(n-1) M_n(\varrho \sqrt{L\lambda_n})}{L \lambda_n M_n(\sqrt{L\lambda_n})} \cos[n\varphi^* - \alpha_n - \theta_n(\varrho \sqrt{L\lambda_n}) + \theta_n(\sqrt{L\lambda_n})] - \right. \\
 & \left. - \frac{\varrho M_{n+1}(\varrho \sqrt{L\lambda_n})}{\sqrt{L\lambda_n} M_n(\sqrt{L\lambda_n})} \cos \left[ n\varphi^* - \alpha_n - \theta_{n+1}(\varrho \sqrt{L\lambda_n}) + \theta_n(\sqrt{L\lambda_n}) + \frac{\pi}{4} \right] + \right. \\
 & \left. + S_n^{-1} \left\{ S_n^{**}(\varrho) - 2c^2 \left[ P_n \left( 1, \frac{\lambda_n}{c} \right) R_n(\varrho \lambda_n) - P_n \left( \varrho, \frac{\lambda_n}{c} \right) R_n(\lambda_n) \right] \right\} \times \right. \\
 & \left. \times \left\{ \frac{J_{n+1}(\lambda_n)}{L J_n(\lambda_n)} \cos(n\varphi^* - \alpha_n) - \frac{M_{n+1}(\sqrt{L\lambda_n})}{\sqrt{L\lambda_n} M_n(\sqrt{L\lambda_n})} \cos \left[ n\varphi^* - \alpha_n + \right. \right. \right. \\
 & \left. \left. \left. + \theta_{n+1}(\sqrt{L\lambda_n}) - \theta_n(\sqrt{L\lambda_n}) - \frac{\pi}{4} \right] \right\} \right).
 \end{aligned}$$

Związki (33) - (37) opisują przemieszczenia i naprężenia w walcu wirującym z prędkością kątową  $\omega$ , wywołane przyłożoną na jego pobocznicy temperaturą  $\theta^*(r, \varphi^*)$ . Obowiązują one dla czasów  $t^* > 0,5a^2\kappa^{-1}$ . W poszczególnych wzorach zastosowano dodatkowe oznaczenia:

$$\begin{aligned}
 \cos \alpha_n &= \frac{L}{\sqrt{L^2 + \lambda_n^2}}, \quad \sin \alpha_n = \frac{\lambda_n}{\sqrt{L^2 + \lambda_n^2}}, \\
 S_n^*(\varrho) &= P_n(\varrho, \lambda_n) P_n \left( 1, \frac{\lambda_n}{c} \right) - 4c^4 n^2 R_n(\lambda_n) R_n \left( \varrho \frac{\lambda_n}{c} \right), \\
 S_n^{**}(\varrho) &= P_n(1, \lambda_n) P_n \left( \varrho, \frac{\lambda_n}{c} \right) - 4c^4 n^2 R_n(\varrho \lambda_n) R_n \left( \frac{\lambda_n}{c} \right).
 \end{aligned}$$

Aby otrzymać rozkład naprężeń i przemieszczeń w rozważanym na wstępie walcu, należy związki (33) - (37) oraz (14) - (16) wstawić do wzorów (12) i (13). Otrzymane sumy będą określać odpowiednio pola przemieszczeń i naprężeń, jakie powstaną w walcu podczas regularnego reżimu cieplnego.

Wyznaczone w ten sposób przemieszczenia i naprężenia są funkcjami dwóch zmiennych: bezwymiarowego promienia  $\varrho = r/a$  oraz kąta  $\varphi^* = \varphi - \omega t$ . Ponadto zawierają trzy stałe parametry bezwymiarowe:  $c = \frac{c_2}{c_1}$ ,  $L = \frac{ac_1}{z}$ ,  $A = \frac{1}{n} \lambda_n = \frac{a\omega}{c_1}$ . Istotną rolę odgrywa także wielkość  $Fo = \frac{\kappa t}{a^2}$  (liczba Fouriera), gdyż przedstawione wyżej wyniki mają sens fizyczny dla czasu  $t$  określonego nierównością  $Fo > 0,5$  [1, 11, 12].

Wspomniane wielkości bezwymiarowe, a więc  $\varrho$ ,  $\varphi^*$ ,  $F_0$ ,  $c$ ,  $L$  oraz  $\Lambda$  utworzone są przez dziewięć parametrów:  $r$ ,  $\varphi$ ,  $t$ ,  $\lambda$ ,  $\mu$ ,  $\kappa$ ,  $\varrho_0$ ,  $\omega$  oraz  $a$ ; stanowią one podstawę wielkości bezwymiarowych określających rozpatrywane zagadnienie [14]. Zatem warunki stałości tych sześciu bezwymiarowych parametrów stanowią dla rozpatrywanego problemu kryteria podobieństwa. Widoczne jest, że np. zwiększenie prędkości kątowej  $\omega$  przy jednoczesnej stałości parametrów  $L$  i  $\Lambda$  powoduje skrócenie czasu trwania czysto niestacjonarnego reżimu cieplnego; stałość parametrów  $L$  i  $\Lambda$  można uzyskać dobierając walec o np. odpowiednio zmniejszonym promieniu  $a$  i współczynniku przewodzenia temperatury  $\kappa$ .

Bezwymiarowe liczby  $L$  i  $\Lambda$  osiągają dla metali wartości, których rząd wielkości można stosunkowo dobrze określić. Z uwagi na to, że wtedy  $c_1 \sim 10^5$  cm/s oraz  $\kappa \sim 10^{-1}$  cm<sup>2</sup>/s mamy  $L \sim 10^6 a$ ,  $\Lambda \sim 10^{-5} a \omega$ .

Rozważmy przypadek, gdy  $\omega \sim 10^2$  rad/s. Przyjmijmy również, że  $a \sim 10$  cm. Wówczas  $L \sim 10^7$ ,  $\Lambda \sim 10^{-2}$ ,  $L\Lambda \sim 10^5$ ,  $\sqrt{L\Lambda} \sim 3 \times 10^2$ . Ponadto, ograniczając się do pierwszych  $N$  (gdzie  $N \sim 10^3$ ) wyrazów rozpatrywanych szeregów, można przyjąć  $\alpha_n \approx 0$ . Przy takich założeniach możliwe jest przedstawienie naprężeń  $\sigma_{\alpha\beta}^*$  ( $\alpha, \beta = r, \varphi$ ) w postaci prostszej, dobrze przybliżającej ich wartość ścisłą dla  $\varrho \in (0,5; 1)$ . Pomijając mianowicie w szeregach, określających te naprężenia, składniki proporcjonalne do  $L^{-1}$  jako małe w porównaniu ze składnikami proporcjonalnymi do  $L^{-0,5}$  oraz wykorzystując wzory przybliżone dla funkcji  $M_n(z)$  i  $\theta_n(z)$  dużego argumentu [3, 4]:

$$M_n(z) = \frac{\exp(z/\sqrt{2})}{\sqrt{2\pi z}}, \quad \theta_n(z) = \frac{z}{\sqrt{2}} - \frac{\pi}{8} + \frac{n\pi}{2},$$

otrzymuje się dla  $\varrho \in (0,5; 1)$ :

$$(38) \quad \sigma_{rr}^*(\varrho, \varphi^*) \approx -\frac{2\gamma c^2}{\varrho^2} \sum_{n=1}^N t_{na} \left( -\sqrt{\frac{\varrho}{L\lambda_n}} \exp\left[-(1-\varrho)\sqrt{\frac{L\lambda_n}{2}}\right] \sin\left[n\varphi^* - (1-\varrho)\sqrt{\frac{L\lambda_n}{2}} + \frac{\pi}{4}\right] + \frac{\sin\left(n\varphi^* + \frac{\pi}{4}\right)}{S_n \sqrt{L\lambda_n}} \left\{ S_n^*(\varrho) + 2c^2 n^2 \times \right. \right. \\ \left. \left. \times \left[ P_n(\varrho, \lambda_n) R_n\left(\frac{\lambda_n}{c}\right) - P_n(1, \lambda_n) R_n\left(\varrho \frac{\lambda_n}{c}\right) \right] \right\} \right),$$

$$(39) \quad \sigma_{\varphi\varphi}^*(\varrho, \varphi^*) \approx -\frac{2\gamma c^2}{\varrho^2} \sum_{n=1}^N t_{na} \left( \sqrt{\varrho} \exp\left[-(1-\varrho)\sqrt{\frac{L\lambda_n}{2}}\right] \left\{ \varrho \cos\left[n\varphi^* + (1-\varrho)\sqrt{\frac{L\lambda_n}{2}} + \frac{\pi}{4}\right] \right. \right. \\ \left. \left. + (1-\varrho)\sqrt{\frac{L\lambda_n}{2}} - \frac{1}{\sqrt{L\lambda_n}} \sin\left[n\varphi^* - (1-\varrho)\sqrt{\frac{L\lambda_n}{2}} + \frac{\pi}{4}\right] \right\} + \frac{\sin\left(n\varphi^* + \frac{\pi}{4}\right)}{S_n \sqrt{L\lambda_n}} \left\{ S_n^*(\varrho) + 2c^2 n^2 \left[ P_n(\varrho, \lambda_n) R_n\left(\frac{\lambda_n}{c}\right) - \right. \right. \right. \\ \left. \left. \left. - P_n(1, \lambda_n) R_n\left(\varrho \frac{\lambda_n}{c}\right) \right] \right\} + 2(1-c^2)(\varrho\lambda_n)^2 J_n(\varrho\lambda_n) \left[ P_n\left(1, \frac{\lambda_n}{c}\right) + 2c^2 R_n\left(\frac{\lambda_n}{c}\right) \right] \right\} \right),$$

$$(40) \quad \sigma_{r\varphi}^*(\varrho, \varphi^*) \approx \frac{2\gamma c^2}{\varrho^2} \sum_{n=1}^N n t_{na} \left( \sqrt{\frac{\varrho}{L\lambda_n}} \exp \left[ -(1-\varrho) \sqrt{\frac{L\lambda_n}{2}} \right] \times \right. \\ \left. \times \cos \left[ n\varphi^* - (1-\varrho) \sqrt{\frac{L\lambda_n}{2}} + \frac{\pi}{4} \right] - \frac{\cos \left( n\varphi^* + \frac{\pi}{4} \right)}{S_n \sqrt{L\lambda_n}} \left\{ S_n^{**}(\varrho) - \right. \right. \\ \left. \left. - 2c^2 \left[ P_n \left( 1, \frac{\lambda_n}{c} \right) R_n(\varrho\lambda_n) - P_n \left( \varrho, \frac{\lambda_n}{c} \right) R_n(\lambda_n) \right] \right\} \right).$$

Związki (38) - (40) są dobrymi przybliżeniami wyrażeń (35) - (37) dla  $\omega \in (\varepsilon \times 10^2; \varepsilon \times 10^4)$  rad/s, gdzie  $\varepsilon \sim 1$ . Wynika z nich, że przy wzroście prędkości kątowej  $\omega$ , obszar, w którym naprężenia główne przyjmują wartości różniące się istotnie od zera, lokalizuje się coraz bliżej powierzchni bocznej walca. Jednocześnie maleją naprężenia  $\sigma_{rr}^*$  i  $\sigma_{r\varphi}^*$  (gdyż rośnie  $L\lambda$ ), a zwiększa się wartość  $\sigma_{\varphi\varphi}^*$ .

Dla prędkości kątowych  $\omega$  rzędu wyższego niż  $10^4 \div 10^5$  rad/s wzory (38) - (40) przestają obowiązywać.

Na zakończenie rozważmy przypadek, gdy  $\omega \ll 1$  rad/s. Przyjmując podobnie jak w poprzednim przypadku  $a \sim 10$  cm mamy  $L \sim 10^7$ ,  $\lambda < 10^{-5}$ ,  $L\lambda < 10^2$ ,  $\sqrt{L\lambda} < 10$ . Ponadto, ograniczając się do pierwszych  $\bar{N}$  (gdzie  $\bar{N} \sim 10^3$ ) wyrazów rozpatrywanych szeregów, można przyjąć  $\alpha_n \approx 0$ . Zastępując funkcje Bessela  $J_n(\lambda_n) = J_n(n\lambda)$  pierwszymi wyrazami ich rozwinięć w szeregi potęgowe, otrzymuje się

$$(41) \quad \sigma_{rr}^*(\varrho, \varphi^*)|_{\omega \ll 1} \approx \frac{2\gamma c^2}{\varrho^2} \sum_{n=1}^{\bar{N}} t_{na} \left( \frac{n(n-1)}{L\lambda_n} \left\{ \varrho^n \sin n\varphi^* - \right. \right. \\ \left. \left. - \frac{M_n(\varrho\sqrt{L\lambda_n})}{M_n(\sqrt{L\lambda_n})} \sin [n\varphi^* - \theta_n(\varrho\sqrt{L\lambda_n}) + \theta_n(\sqrt{L\lambda_n})] \right\} - \frac{\varrho}{\sqrt{L\lambda_n} M_n(\sqrt{L\lambda_n})} \times \right. \\ \left. \times \left\{ M_{n+1}(\varrho\sqrt{L\lambda_n}) \sin \left[ n\varphi^* + \theta_{n+1}(\varrho\sqrt{L\lambda_n}) - \theta_n(\sqrt{L\lambda_n}) - \frac{\pi}{4} \right] - \right. \right. \\ \left. \left. - \varrho^{n+1} M_{n+1}(\sqrt{L\lambda_n}) \sin \left[ n\varphi^* + \theta_{n+1}(\sqrt{L\lambda_n}) - \theta_n(\sqrt{L\lambda_n}) - \frac{\pi}{4} \right] \right\} \right);$$

$$(42) \quad \sigma_{\varphi\varphi}^*(\varrho, \varphi^*)|_{\omega \ll 1} \approx - \frac{2\gamma c^2}{\varrho^2} \sum_{n=1}^{\bar{N}} t_{na} \left( \frac{n(n-1)}{L\lambda_n} \left\{ \varrho^n \sin n\varphi^* - \right. \right. \\ \left. \left. - \frac{M_n(\varrho\sqrt{L\lambda_n})}{M_n(\sqrt{L\lambda_n})} \sin \left[ n\varphi^* - \theta_n(\varrho\sqrt{L\lambda_n}) + \theta_n(\sqrt{L\lambda_n}) \right] \right\} + \right. \\ \left. + \frac{\varrho^2 M_n(\varrho\sqrt{L\lambda_n})}{M_n(\sqrt{L\lambda_n})} \cos [n\varphi^* - \theta_n(\varrho\sqrt{L\lambda_n}) + \theta_n(\sqrt{L\lambda_n})] - \right. \\ \left. - \frac{\varrho}{\sqrt{L\lambda_n} M_n(\sqrt{L\lambda_n})} \left\{ M_{n+1}(\varrho\sqrt{L\lambda_n}) \sin \left[ n\varphi^* + \theta_{n+1}(\varrho\sqrt{L\lambda_n}) - \theta_n(\sqrt{L\lambda_n}) - \frac{\pi}{4} \right] + \right. \right. \\ \left. \left. + \varrho^{n+1} (2n+1) M_{n+1}(\sqrt{L\lambda_n}) \sin \left[ n\varphi^* + \theta_{n+1}(\sqrt{L\lambda_n}) - \theta_n(\sqrt{L\lambda_n}) - \frac{\pi}{4} \right] \right\} \right),$$

$$\begin{aligned}
 (43) \quad \sigma_{r\varphi}^*(\varrho, \varphi^*)|_{\omega \ll 1} \approx & \frac{2\gamma c^2}{\varrho^2} \sum_{n=1}^{\bar{N}} n t_{na} \left( \frac{n-1}{L\lambda_n} \left\{ \varrho^n \cos n\varphi^* - \right. \right. \\
 & \left. \left. - \frac{M_n(\varrho \sqrt{L\lambda_n})}{M_n(\sqrt{L\lambda_n})} \cos \left[ n\varphi^* - \theta_n(\varrho \sqrt{L\lambda_n}) + \theta_n(\sqrt{L\lambda_n}) \right] \right\} + \right. \\
 & + \frac{\varrho}{\sqrt{L\lambda_n} M_n(\sqrt{L\lambda_n})} \left\{ M_{n+1}(\varrho \sqrt{L\lambda_n}) \cos \left[ n\varphi^* + \theta_{n+1}(\varrho \sqrt{L\lambda_n}) - \theta_n(\sqrt{L\lambda_n}) - \right. \right. \\
 & \left. \left. - \frac{\pi}{4} \right] - \varrho^{n+1} M_{n+1}(\sqrt{L\lambda_n}) \cos \left[ n\varphi^* + \theta_{n+1}(\sqrt{L\lambda_n}) - \theta_n(\sqrt{L\lambda_n}) - \frac{\pi}{4} \right] \right\} \Bigg).
 \end{aligned}$$

Gdy  $\omega = 0$ , otrzymujemy  $\sigma_{\alpha\beta}^* = 0$  ( $\alpha, \beta = r, \varphi$ ).

### 5. Podsumowanie wyników

Wyznaczone w pracy naprężenia i przemieszczenia składają się z dwóch zasadniczych składników: pierwszego — pochodzącego od ruchu obrotowego walca, oraz drugiego — będącego skutkiem ogrzewania jego powierzchni bocznej. Pierwszy składnik był znany w literaturze; drugi został wyznaczony dla chwil czasu odległych od chwili początkowej. Sprowadzenie zagadnienia dynamicznego przy pomocy transformacji układu współrzędnych do quasi-statycznego pozwoliło określić wielkości  $u_\alpha^*$ ,  $\sigma_{\alpha\beta}^*$  ( $\alpha, \beta = r, \varphi$ ) na stosunkowo prostej, choć rachunkowo żmudnej drodze. Otrzymane wyniki wskazują, że naprężenia w wirującym walcu, grzanym na pobocznicy, są periodycznymi funkcjami czasu (gdyż  $\varphi^* = \varphi - \omega t$ ). W zależności zatem od różnicy temperatur działających na pobocznice (por. rys. 1) naprężenia będą oscylować w czasie z mniejszą lub większą amplitudą. W przypadku, gdy temperatura pobocznicy jest stała, naprężenia  $\sigma_{\alpha\beta}$  są równe zeru (gdyż  $t_{na} = 0$ ).

Interesujące są wnioski wynikające z rozważań dotyczących dużych oraz małych prędkości kątowych  $\omega$ . W przypadku dużych prędkości kątowych mamy do czynienia ze spiętrzeniem naprężeń obwodowych przy pobocznicy walca, naprężenia zaś promieniowe i ścinające są bardzo bliskie zera. Na brzegu walca wartość  $\sigma_{\varphi\varphi}^*$  jest w przybliżeniu równa  $-2\gamma c^2 (\theta(a, \varphi, t) - t_{0a})$ .

Dla  $\omega$  bliskiego zeru również największe wartości osiąga  $\sigma_{\varphi\varphi}^*$ ; gdy  $\omega = 0$ , mamy w całym przekroju poprzecznym walca  $\sigma_{\alpha\beta}^* = 0$  ( $\alpha, \beta = r, \varphi$ ). Ten ostatni wynik jest zgodny z twierdzeniem dotyczącym naprężeń cieplnych przy ustalonym reżimie cieplnym (por. np. [15], s. 161).

Przedstawione wyniki mają postać szeregów Fouriera o dosyć skomplikowanych współczynnikach. Zaletą jednak takiego przedstawienia jest fakt, że współczynniki te zależą tylko od czterech bezwymiarowych parametrów, w tym od bezwymiarowego promienia  $\varrho$ . Otrzymane wyniki stanowią zatem wygodne narzędzie do badań modelowych.

## Literatura cytowana w tekście

1. K. GRYSA, *Nieustalone pole temperatury w wirującym walcu kołowym, wywołane utrzymywaną na jego poboczniczy odcinkami stałą temperaturą*, Mech. Teoret. i Stos., 2, 15 (1977).
2. W. NOWACKI, *Teoria sprężystości*, PWN, Warszawa 1970.
3. G. N. WATSON, *A treatise on the theory of Bessel functions*, Cambridge University Press, Cambridge 1962.
4. N. W. McLACHLAN, *Funkcje Bessela dla inżynierów*, PWN, Warszawa 1964.
5. S. TIMOSHENKO, I. N. GOODIER, *Teoria sprężystości*, Arkady, Warszawa 1962.
6. Y. C. FUNG, *Podstawy mechaniki ciała stałego*, PWN, Warszawa 1969.
7. T. MURA, *Dynamical thermal stress due to thermal shocks*, Res. Rep. Faculty of Engng., Meiji Univ., 8, 1956.
8. W. DERSKI, *A dynamical problem of thermoelasticity concerning a thin circular plate*, Arch. Mech., 2, 13 (1961).
9. K. GRYSA, M. KWIEK, *Stan naprężenia w walcu kołowym wywołany przyłożeniem stałej temperatury na pobocznicy*, Mech. Teoret. Stos., 1, 15 (1977).
10. H. PARKUS, *Instationäre Wärmespannungen*, Springer-Verlag, Wien 1958; tłum. ros., Moskwa 1963.
11. K. GRYSA, *Rozkład temperatury i naprężeń w walcu kołowym, wywołany ruchomym niesymetrycznym ogrzewaniem poboczniczy*, Rozpr. doktorska, Politechnika Poznańska, 1975.
12. А. Г. ХАРЛАМОВ, *Измерение теплопроводности твердых тел*, АТОМИЗДАТ, Москва 1973.
13. K. GRYSA, *O sumowaniu pewnych szeregów Fouriera-Bessela*, Mech. Teoret. Stos., 2, 15 (1977).
14. L. I. SIEDOW, *Analiza wymiarowa i teoria podobieństwa w mechanice*, WNT, Warszawa 1968.
15. Н. И. МУСХЕЛИШВИЛИ, *Некоторые основные задачи математической теории упругости*, Изд. Наука, Москва 1966.

## Резюме

NAPRĘŻENIA I PRZEMIESZCZENIA W KRUGŁYM WRAĆAJĄCYM  
CYLINDRZE ПРИ НЕСИММЕТРИЧЕСКОМ НАГРЕВЕ ЕГО  
БОКОВОЙ ПОВЕРХНОСТИ

В работе приведены напряжения и перемещения в круглом вращающемся цилиндре во время регулярного теплового режима. Полученное решение имеет вид рядов Фурье, представленных при помощи безразмерных координат и параметров, содержащих физические константы.

## Summary

THE STRESSES AND DISPLACEMENTS IN A ROTATING CIRCULAR  
CYLINDER DUE TO AXIALLY NON-SYMMETRICAL HEATING OF ITS  
LATERAL SURFACE

The problem of stress and displacement distributions a rotating circular cylinder heated on its lateral surface is dealt with in case of a regular thermal process. The solution is given in a form of Fourier series involving dimensionless variables and dimensionless parameters determined by the mechanical and thermal properties of material.

INSTYTUT MECHANIKI TECHNICZNEJ  
POLITECHNIKI POZNAŃSKIEJ

Praca została złożona w Redakcji dnia 20 października 1976 r.